

# 量子トンネル融合反応で 視る原子核の形

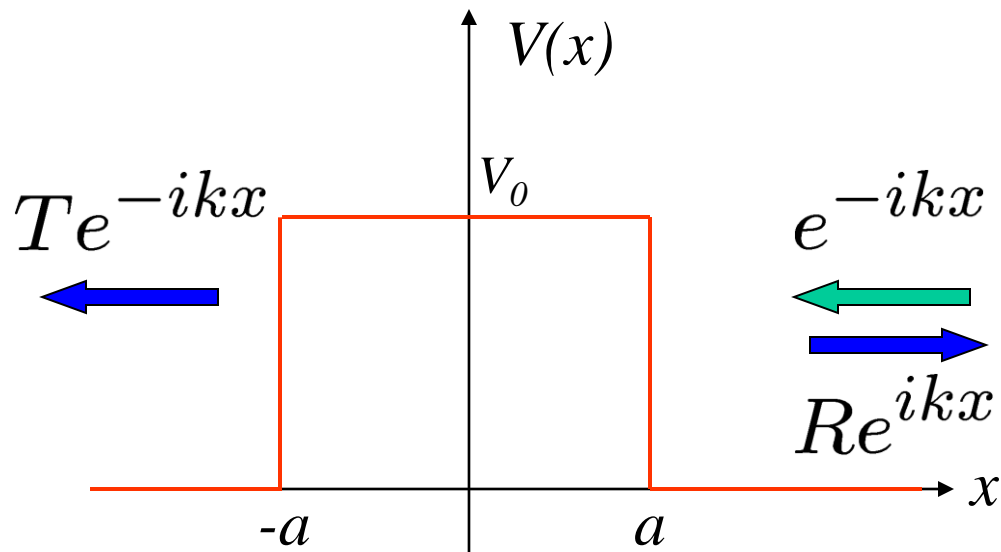
東北大学 原子核理論研究室  
萩野浩一

1. はじめに：量子トンネル現象
2. 核融合反応とトンネル効果
3. 障壁分布法
4. 量子反射と重イオン準弾性散乱

参考文献

日本物理学会誌57(2002)588

# はじめに：量子トンネル現象

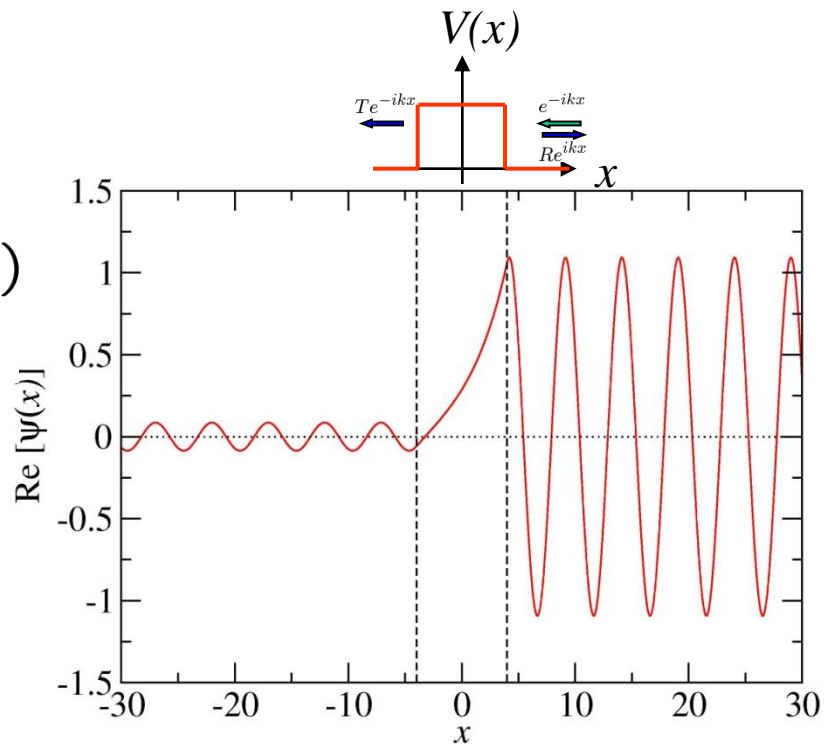


$$\begin{aligned}\psi(x) &= T e^{-ikx} & (x \leq -a) \\ &= A e^{-\kappa x} + B e^{\kappa x} & (-a < x < a) \\ &= e^{-ikx} + R e^{ikx} & (x \geq a)\end{aligned}$$

$$k = \sqrt{2mE/\hbar^2}$$

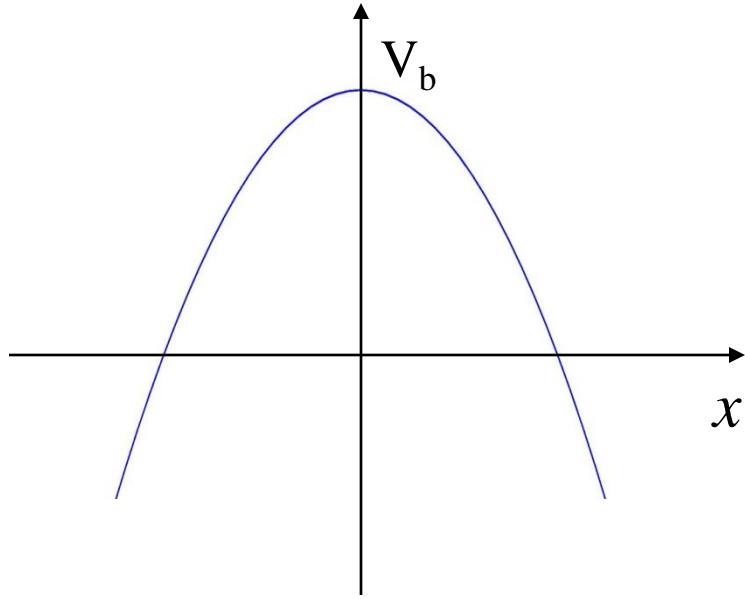
$$\kappa = \sqrt{2m(V_0 - E)/\hbar^2}$$

トンネル確率:  $P(E) = |T|^2$

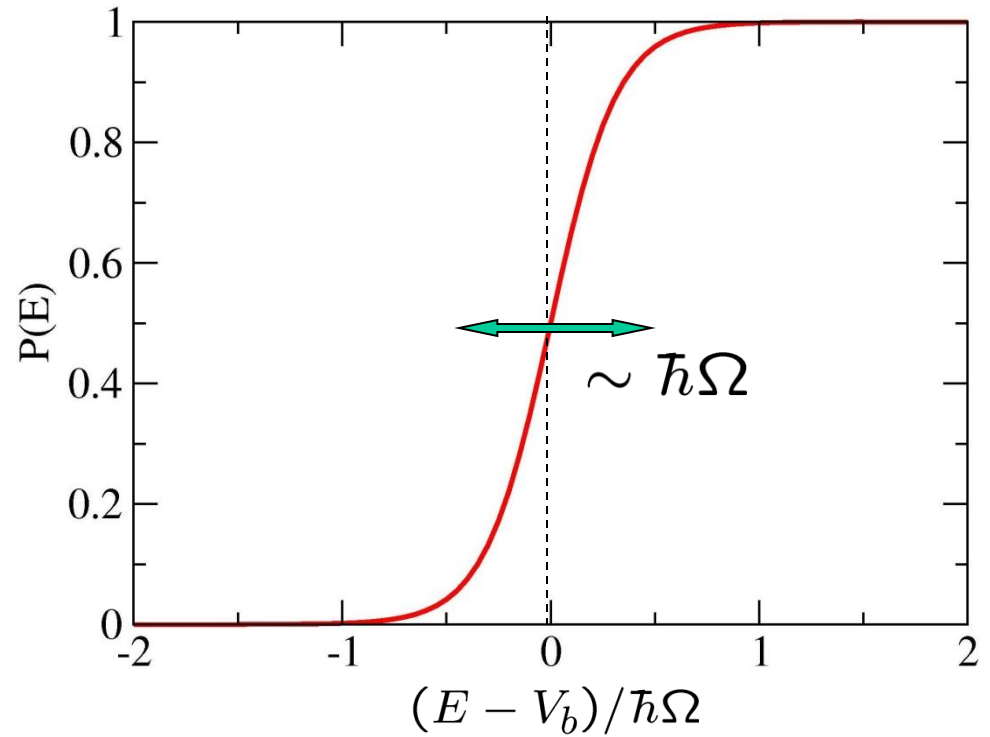


# 放物線障壁だと.....

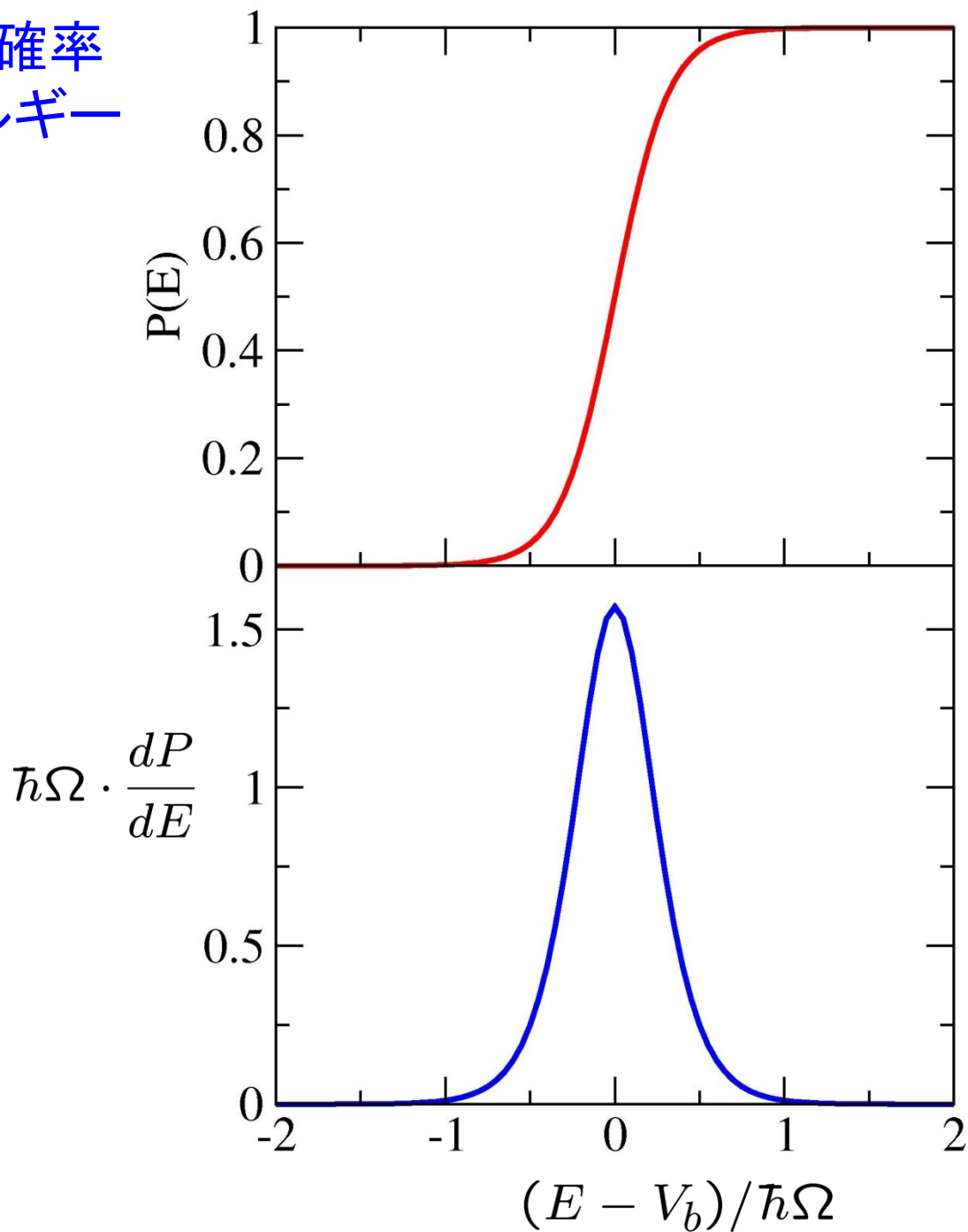
$$V(x) = V_b - \frac{1}{2}m\Omega^2 x^2$$



$$P(E) = \frac{1}{1 + \exp\left[\frac{2\pi}{\hbar\Omega}(V_b - E)\right]}$$



トンネル確率  
のエネルギー  
微分



(note) 古典極限

$$P(E) = \theta(E - V_b)$$

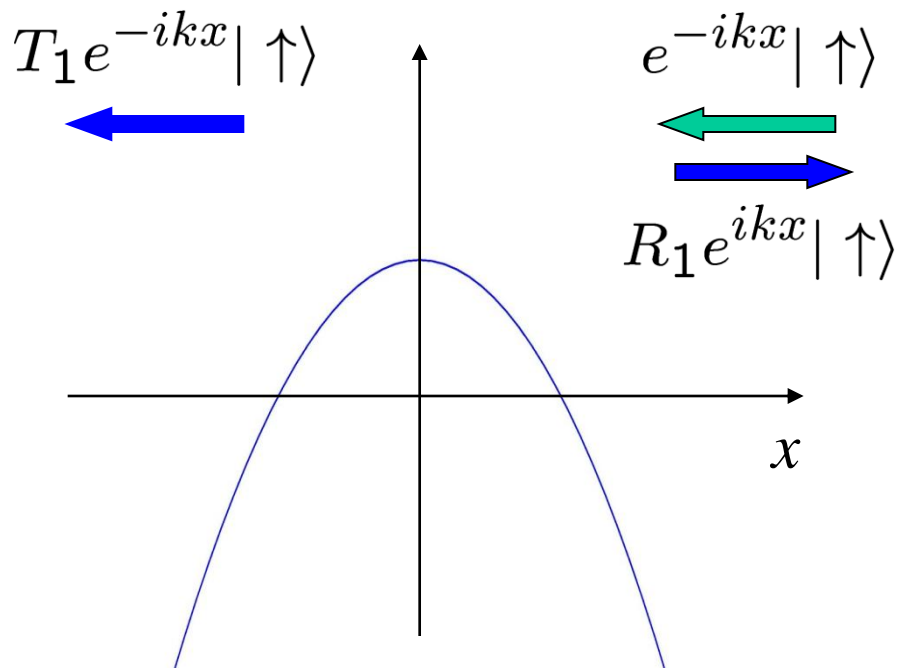
$$dP/dE = \delta(E - V_b)$$

# スピンの自由度を考えてみる

ハミルトニアン(例): 
$$H = -\frac{\hbar^2}{2m} \frac{d^2}{dx^2} + V_0(x) + \hat{\sigma}_z \cdot V_s(x)$$

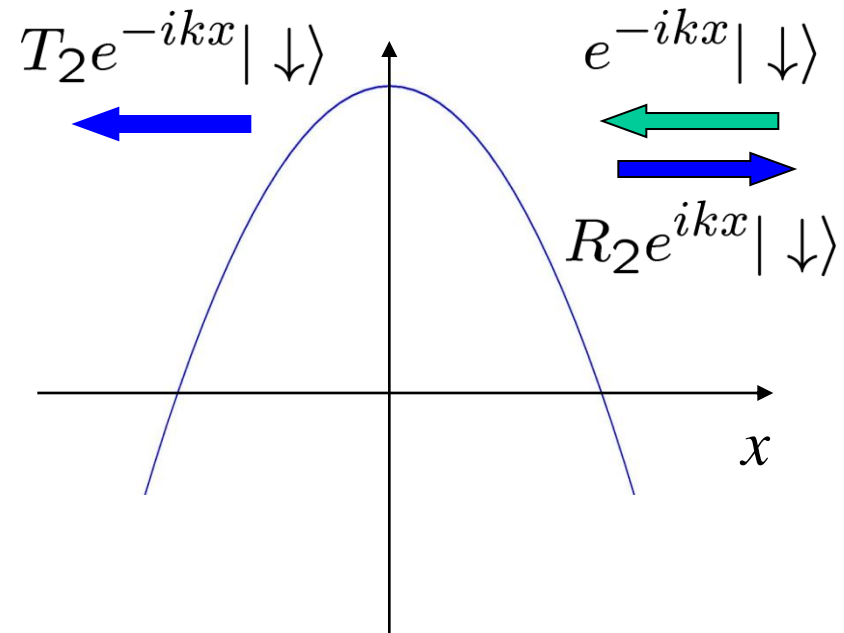
$$\hat{\sigma}_z = \begin{pmatrix} 1 & 0 \\ 0 & -1 \end{pmatrix}$$

## Spin-up の場合



$$V_1(x) = V_0(x) + V_s(x)$$

## Spin-down の場合



$$V_2(x) = V_0(x) - V_s(x)$$

$$H = -\frac{\hbar^2}{2m} \frac{d^2}{dx^2} + V_0(x) + \hat{\sigma}_z \cdot V_1(x)$$


**波動関数(一般形):**  $\Psi(x) = \psi_1(x) |\uparrow\rangle + \psi_2(x) |\downarrow\rangle$   
 $= \begin{pmatrix} \psi_1(x) \\ \psi_2(x) \end{pmatrix}$

$x \rightarrow \pm\infty$  での漸近形:

$$\Psi(x) \rightarrow \begin{pmatrix} C_1(e^{-ikx} + R_1 e^{ikx}) \\ C_2(e^{-ikx} + R_2 e^{ikx}) \end{pmatrix} \quad (x \rightarrow \infty)$$

$$\rightarrow \begin{pmatrix} C_1 T_1 e^{-ikx} \\ C_2 T_2 e^{-ikx} \end{pmatrix} \quad (x \rightarrow -\infty)$$

$|C_1|^2 + |C_2|^2 = 1$   
 ( $C_1$ と $C_2$ の値は粒子のスピン状態により定まる)

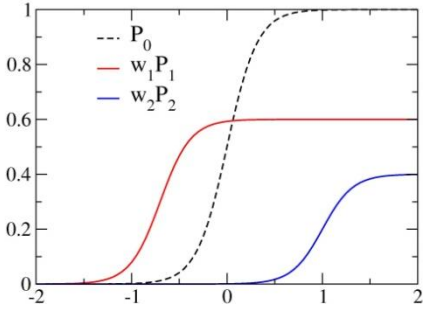

**トンネル確率 =**  $\frac{(x = -\infty \text{ でのフラックス})}{(x = \infty \text{ での入射内向きフラックス})}$

$$P(E) = \frac{|C_1 T_1|^2 + |C_2 T_2|^2}{|C_1|^2 + |C_2|^2}$$

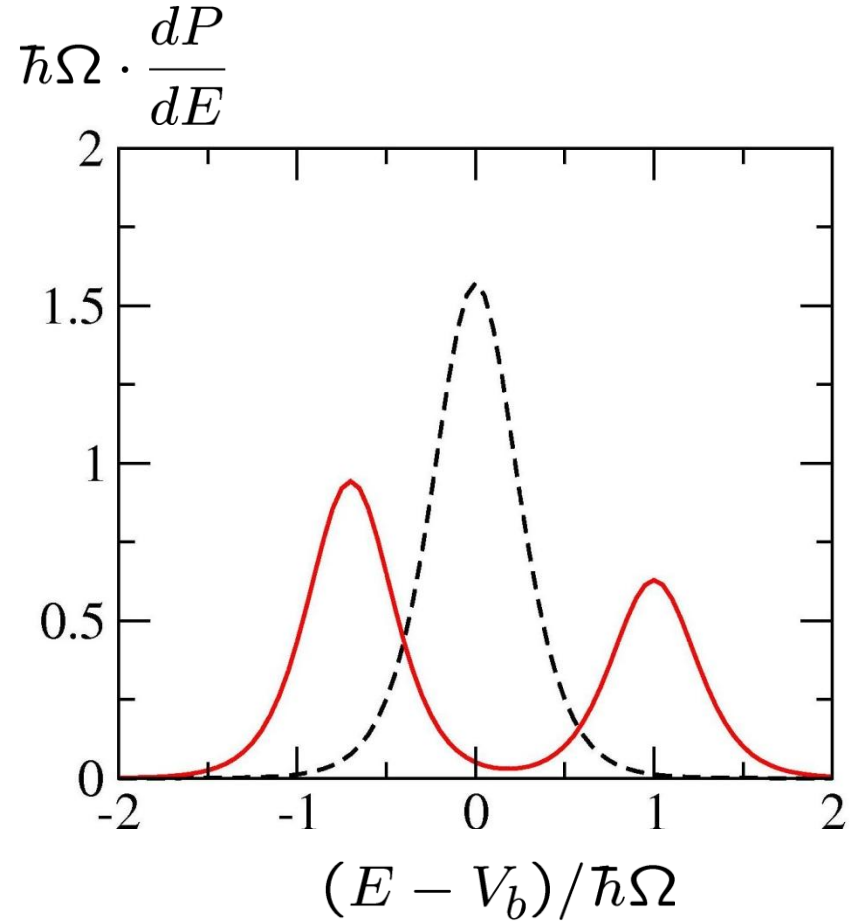
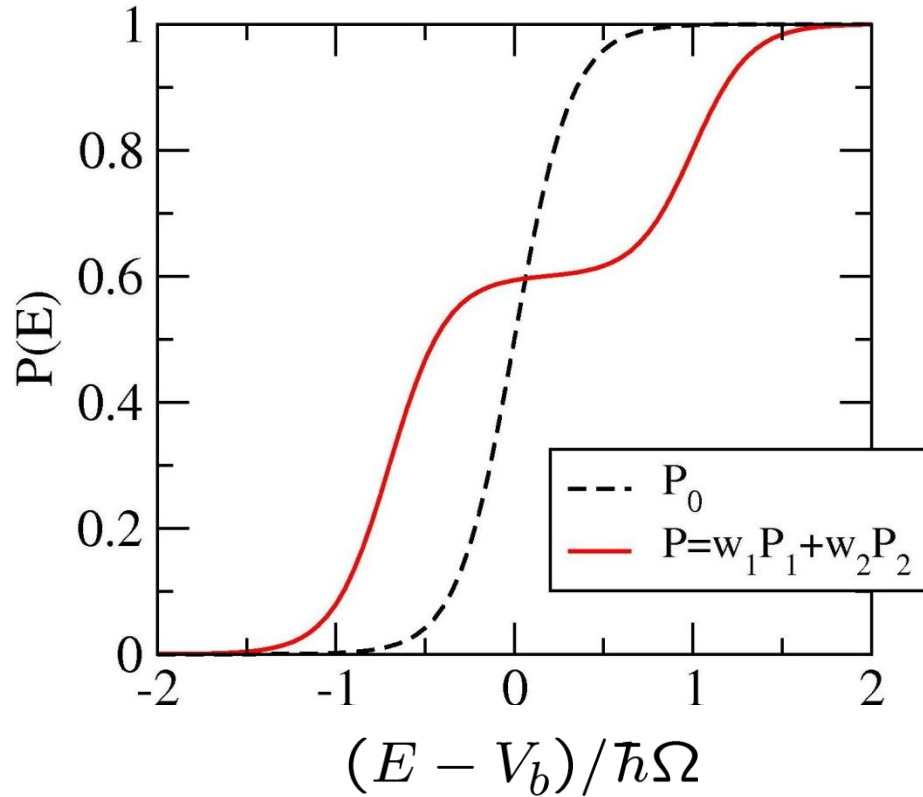
$$= |C_1|^2 P_1(E) + |C_2|^2 P_2(E) \equiv w_1 P_1(E) + w_2 P_2(E)$$

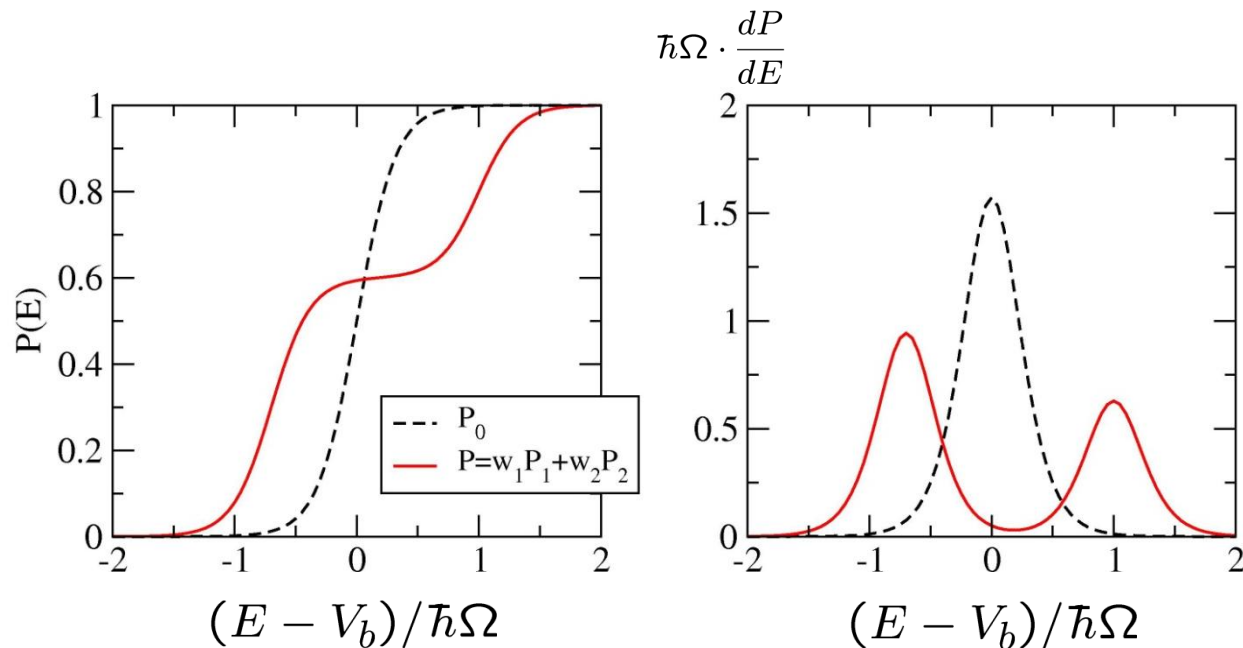
$$P(E) = w_1 P_1(E) + w_2 P_2(E)$$

→ トンネル確率は2つの障壁のトンネル確率の加重平均になる



$$\begin{cases} V_1(x) = V_0(x) + V_s(x) & \leftarrow \text{ } | \uparrow \rangle \\ V_2(x) = V_0(x) - V_s(x) & \leftarrow \text{ } | \downarrow \rangle \end{cases}$$





- トンネル確率は  $E < V_b$  で増大、 $E > V_b$  で減少
- $dP/dE$  は一山が二山に分かれる → 「障壁が分布する」
- $dP/dE$  のピークの位置は各障壁の高さに対応
- ピークの値は重み因子に比例する

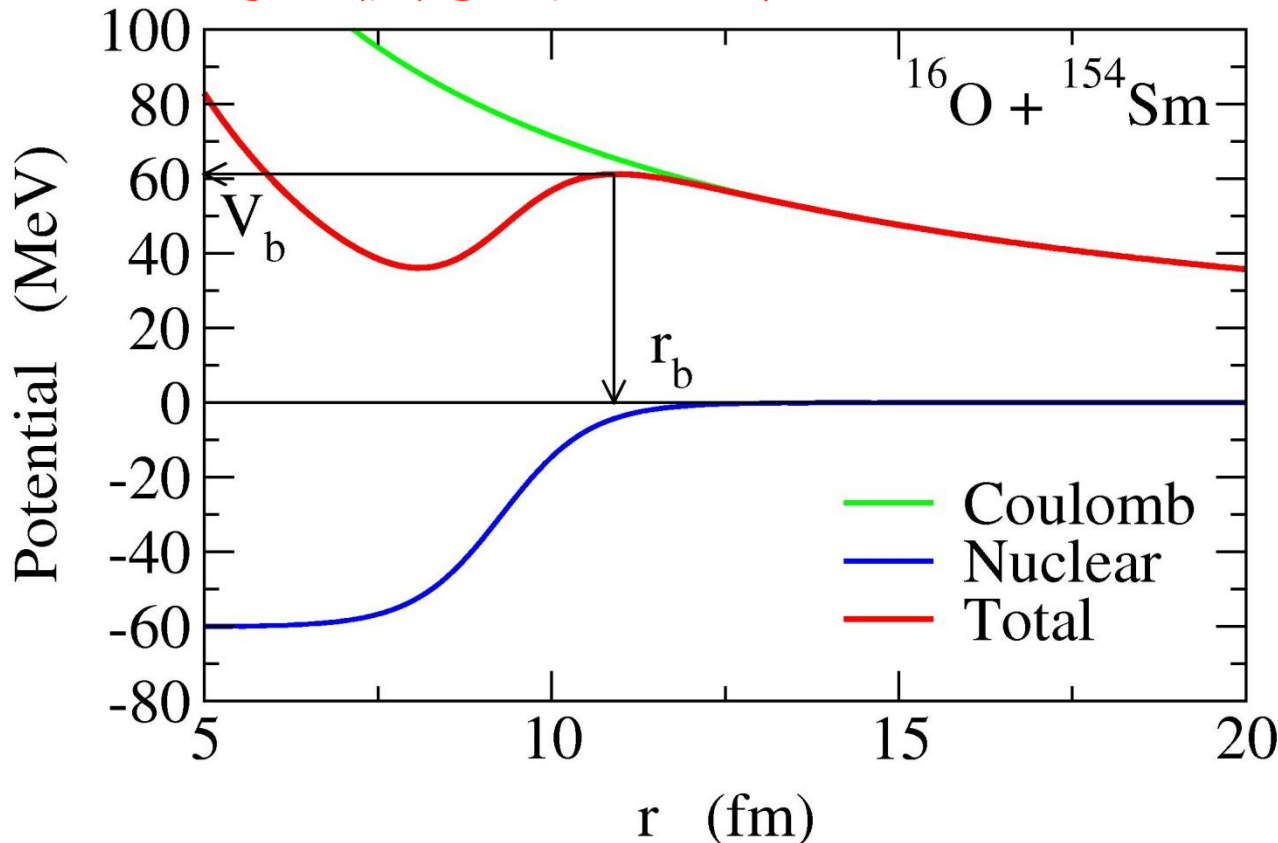
$$\begin{aligned}
 P(E) &= w_1 P_1(E) + w_2 P_2(E) \\
 \frac{dP}{dE} &= w_1 \frac{dP_1}{dE} + w_2 \frac{dP_2}{dE}
 \end{aligned}$$

# 核融合反応とトンネル効果

核融合反応: 2つの原子核が融合して1つの複合核を形成する反応



原子核間ポテンシャル



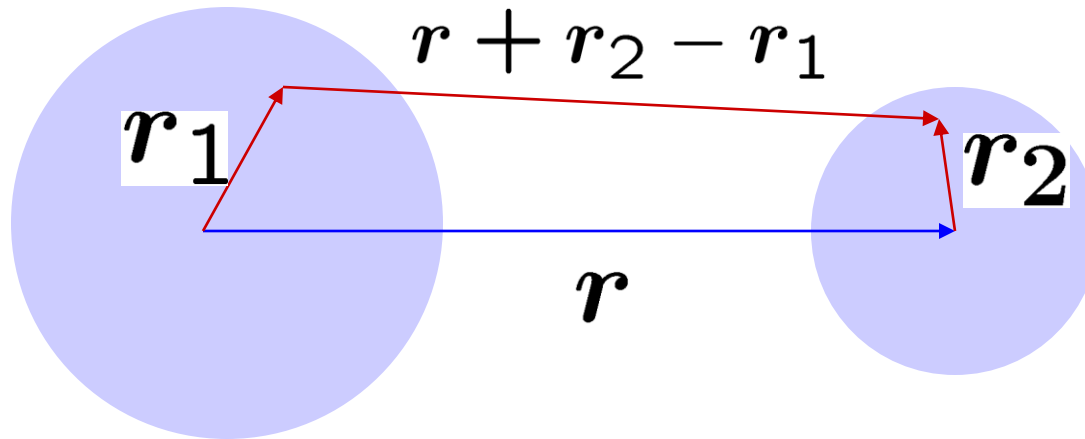
2つの力:

1. クーロン力  
長距離斥力
2. 核力  
短距離引力



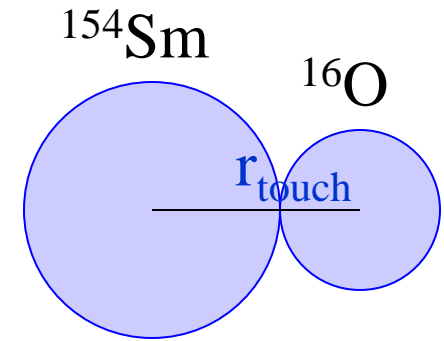
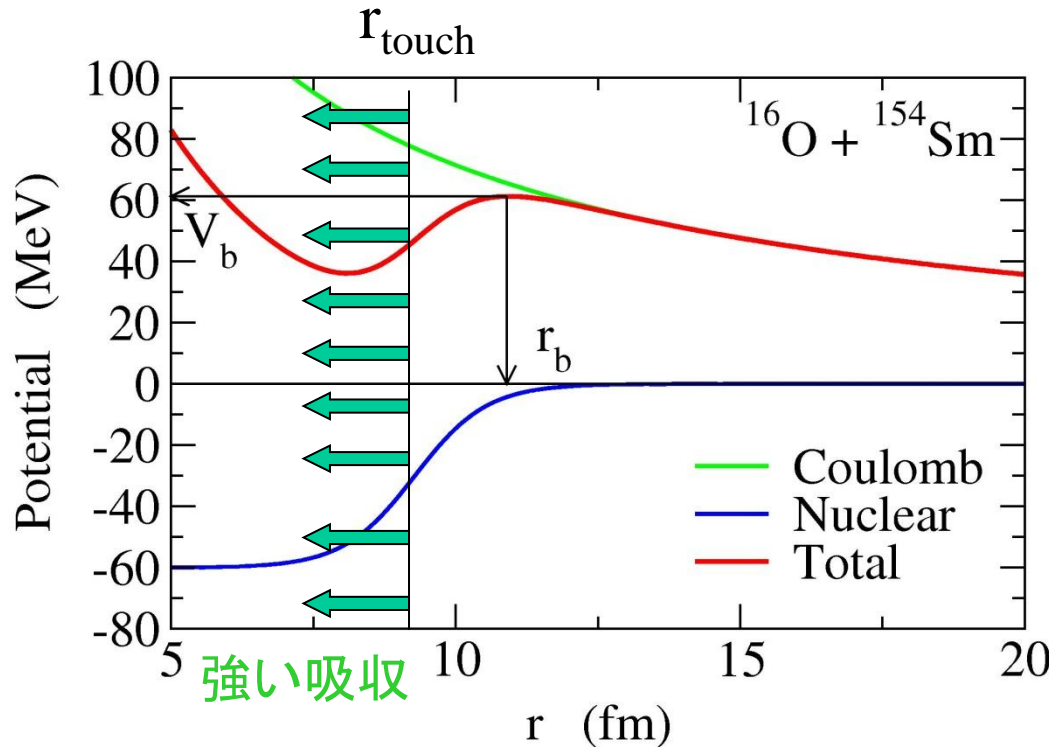
両者の打ち消しあいによりポテンシャル障壁が形成  
(クーロン障壁)

(参考) 二重畳み込みポテンシャル (Double Folding Potential)



$$V(r) = \int dr_1 dr_2 \rho_1(r_1) \rho_2(r_2) \times v(r + r_2 - r_1)$$

# 核融合反応: 2つの原子核が融合して1つの複合核を形成する反応



一度接触すると自動的に複合核を形成(強吸収の仮定)



核融合の確率

=  $r_{\text{touch}}$  に到達する確率



障壁の透過確率

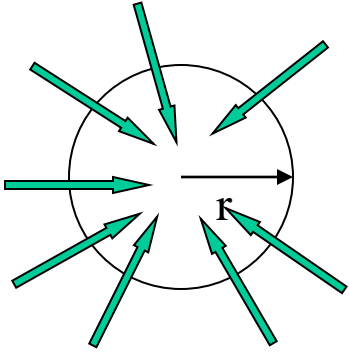
$$\sigma_{\text{fus}}(E) = \frac{\pi}{k^2} \sum_l (2l + 1) P_l(E)$$

低エネルギーでは核融合反応はトンネル効果で起きる!

## (note) 吸収断面積

$$\psi(\mathbf{r}) \rightarrow \frac{i}{2k} \sum_l (2l+1) i^l \frac{1}{r} \left[ e^{-i(kr-l\pi/2)} - S_l e^{i(kr-l\pi/2)} \right] P_l(\cos\theta) = e^{i\mathbf{k}\cdot\mathbf{r}} + f(\theta) \frac{e^{ikr}}{r}$$

### 全内向フラックス:



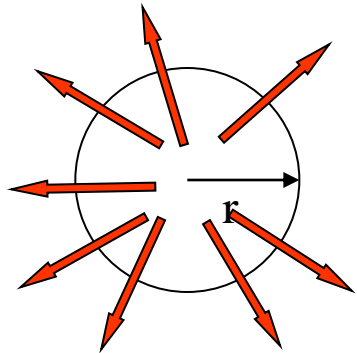
$$\psi_{\text{in}}(\mathbf{r}) = \frac{i}{2k} \sum_l (2l+1) i^l \frac{1}{r} e^{-i(kr-l\pi/2)} P_l(\cos\theta)$$

$$\mathbf{j}_{\text{in}} = \frac{\hbar}{2im} (\psi_{\text{in}}^* \nabla \psi_{\text{in}} - \psi_{\text{in}} \nabla \psi_{\text{in}}^*)$$

$$= \frac{k\hbar}{m} \frac{1}{r^2} \left| \frac{i}{2k} \sum_l (2l+1) (-)^l P_l(\cos(\theta)) \right|^2 \mathbf{e}_r$$

$$j_{\text{in}}^{\text{net}} = \int r^2 d\Omega \mathbf{j}_{\text{in}} \cdot \mathbf{e}_r = \frac{k\hbar}{m} \cdot \frac{\pi}{k^2} \sum_l (2l+1)$$

### 全外向フラックス:



$$\psi_{\text{out}}(\mathbf{r}) = \frac{i}{2k} \sum_l (2l+1) i^l \frac{1}{r} S_l e^{i(kr-l\pi/2)} P_l(\cos\theta)$$

$$j_{\text{out}}^{\text{net}} = \frac{k\hbar}{m} \cdot \frac{\pi}{k^2} \sum_l (2l+1) |S_l|^2$$


$$\sigma_{\text{abs}} = \frac{j_{\text{in}}^{\text{net}} - j_{\text{out}}^{\text{net}}}{j_{\text{incident}}} = \frac{\pi}{k^2} \sum_l (2l+1) (1 - |S_l|^2)$$

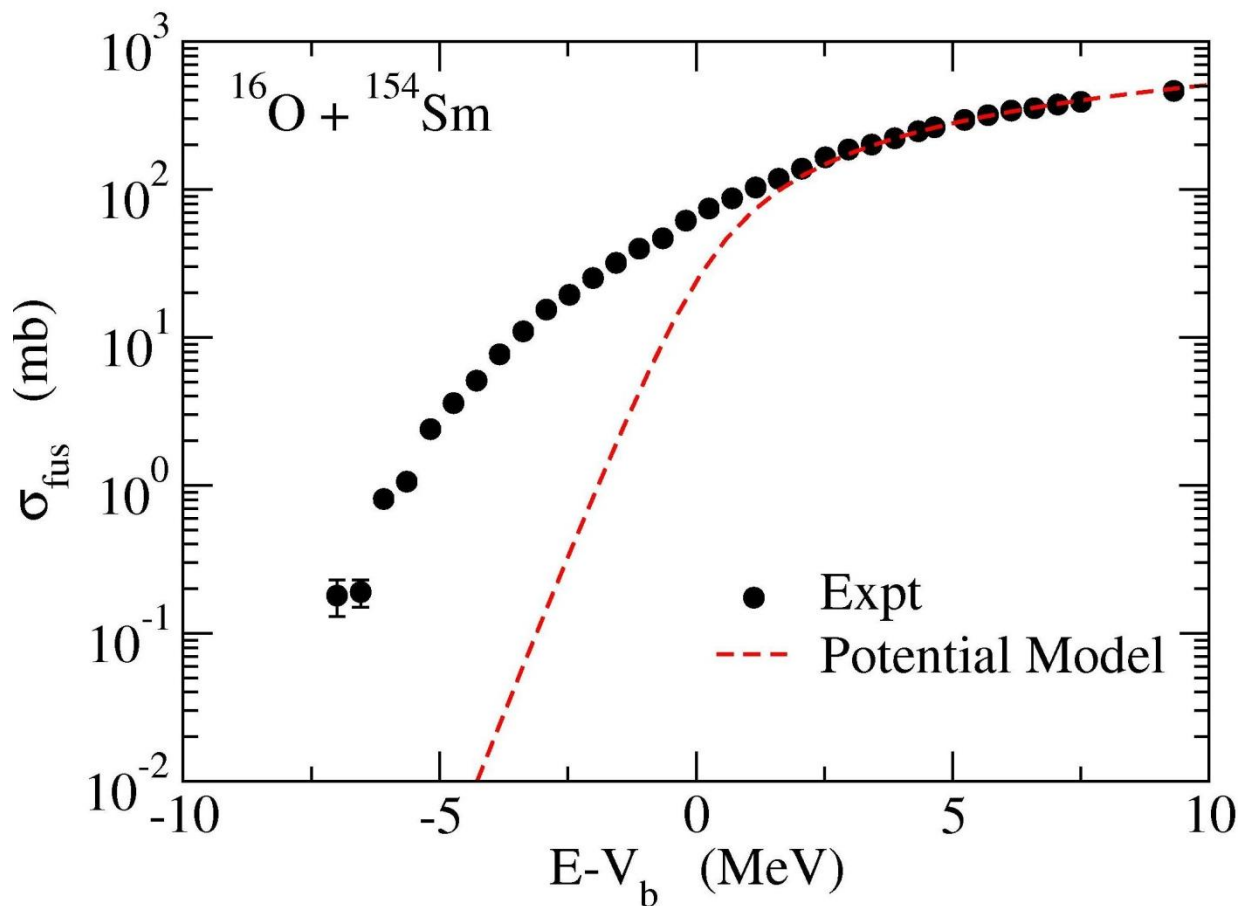
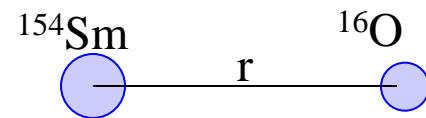
$$1 - |S_l|^2 = P_l$$

# ポテンシャル模型と実験データの比較

$$\left[ -\frac{\hbar^2}{2\mu} \frac{d^2}{dr^2} + V_0(r) + \frac{l(l+1)\hbar^2}{2\mu r^2} - E \right] u_l(r) = 0$$

→ 
$$\sigma_{\text{fus}}(E) = \frac{\pi}{k^2} \sum_l (2l+1) P_l(E)$$

$$\frac{1}{\mu} = \frac{1}{154 m_N} + \frac{1}{16 m_N}$$



ポテンシャル模型:

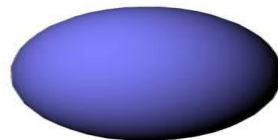
$E > V_b$  では大体データを再現

$E < V_b$  では核融合断面積を過小に評価



何が原因？

# $^{154}\text{Sm}$ の変形の効果



## $^{154}\text{Sm}$ の励起スペクトル

0.903 —————  $8^+$   
(MeV)

0.544 —————  $6^+$

0.267 —————  $4^+$

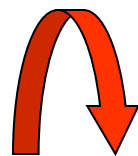
0.082 —————  $2^+$   
0 —————  $0^+$

$^{154}\text{Sm}$

Cf. 剛体の回転エネルギー(古典力学)

$$E = \frac{1}{2} \mathcal{J} \omega^2 = \frac{I^2}{2\mathcal{J}}$$

$$(I = \mathcal{J}\omega, \omega = \dot{\theta})$$



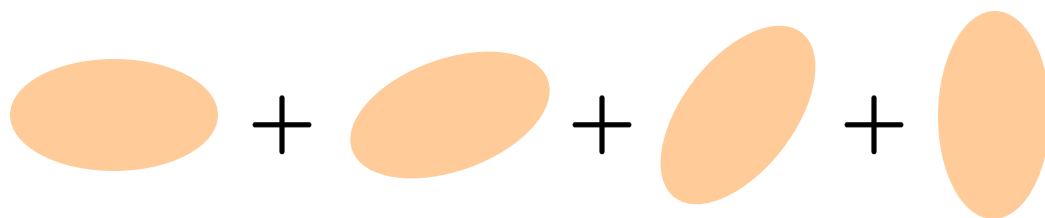
$^{154}\text{Sm}$  は変形している

(note)  $0^+$  状態とは(量子力学)?

$0^+$ : 空間の異方性がない

→ 色々な向きが等確率で混ざっている

$$E_I \sim \frac{I(I+1)\hbar^2}{2\mathcal{J}}$$



# 変形核の核融合反応断面積

## エネルギー・スケールの比較

$$V(r) \sim V_b - \frac{1}{2}\mu\Omega^2 r^2$$

- トンネル運動:  $E^{\text{fnu}} \sim \psi \psi \sim 3.5 \text{ MeV}$  (クーロン障壁の曲率)
- 回転運動:  $E_{\text{rot}} \sim E_{2+} \sim 0.08 \text{ MeV}$

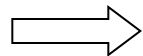
$E_{\text{tun}} \gg E_{\text{rot}} = I(I+1)\hbar^2/2\mathcal{J} \rightarrow 0$

$\longleftrightarrow \mathcal{J} \rightarrow \infty$

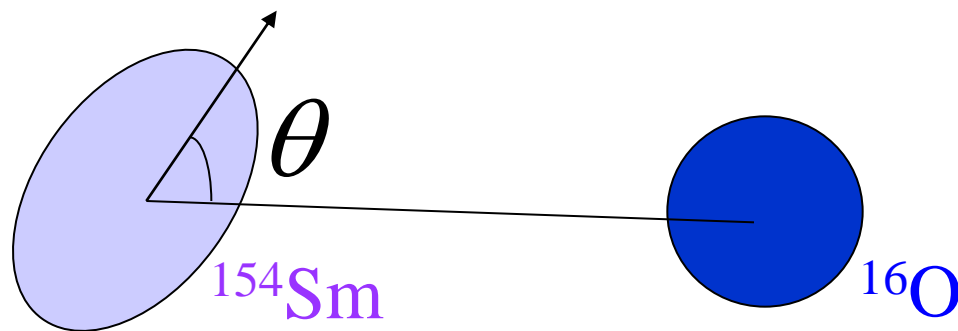
$^{154}\text{Sm}$  の方向は反応中にほとんど変化しない

(note)

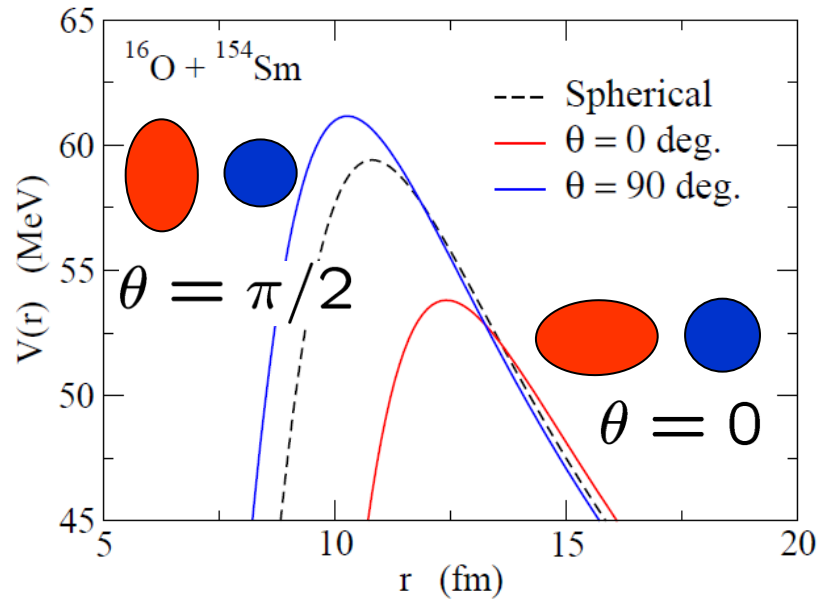
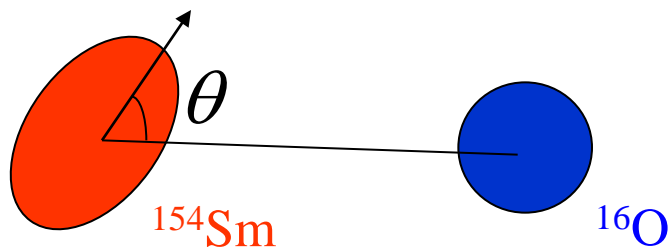
反応の初期は基底状態  
( $0^+$  状態)



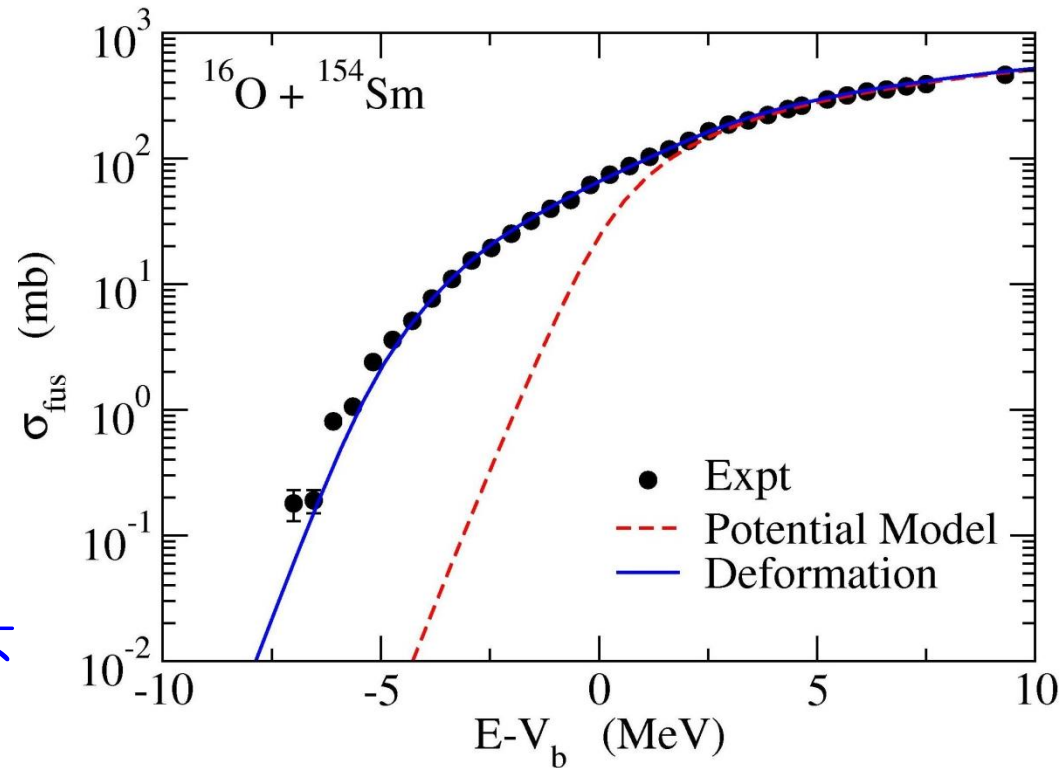
あらゆる方向が等確率  
で混ざっている



$$\sigma_{\text{fus}}(E) = \int_0^1 d(\cos \theta) \sigma_{\text{fus}}(E; \theta)$$



$$\sigma_{\text{fus}}(E) = \int_0^1 d(\cos \theta) \sigma_{\text{fus}}(E; \theta)$$



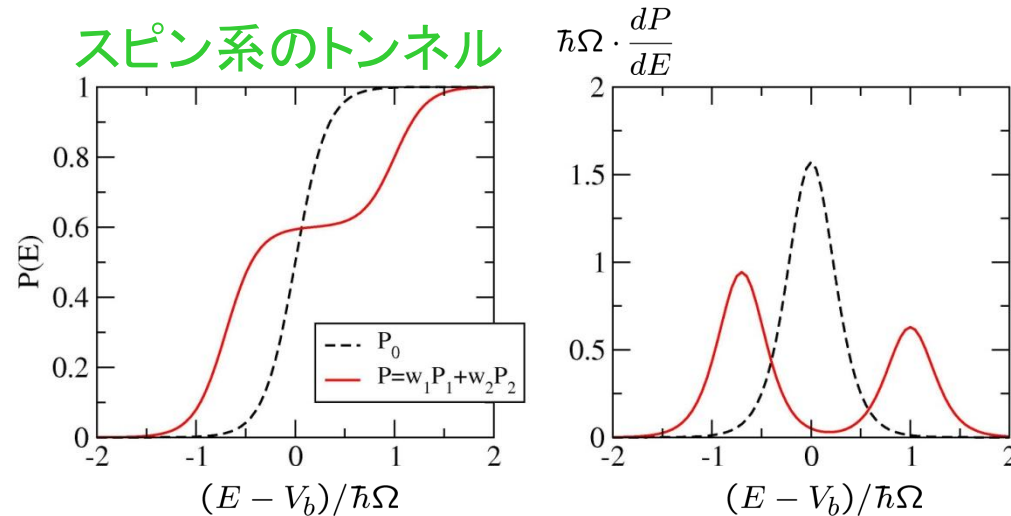
$\theta = 0$ では引力の核力が比較的遠方から働くため障壁が下がる。

$\theta = \pi/2$ はその逆。近づかないと引力が働かないため障壁は上がる。

# 障壁分布法

- 低エネルギー核融合反応はトンネル効果で起きる
- 変形核の融合反応では、変形核の向きに応じて多数の障壁が存在
- 核融合反応断面積は多数の障壁の平均

$$\begin{aligned}\sigma_{\text{fus}}(E) &= \int_0^1 d(\cos \theta) \sigma_{\text{fus}}(E; \theta) \\ &= \frac{\pi}{k^2} \sum_l (2l + 1) \left[ \int_0^1 d(\cos \theta) P_l(E; \theta) \right]\end{aligned}$$



➡ 核融合反応で同様のことはできないか？

1つの考慮すべき点: 実験で測られるのは核融合断面積であって透過確率ではない。

$$\longrightarrow P_{l=0}(E) \simeq \frac{1}{\pi R_b^2} \cdot \frac{d(E\sigma_{\text{fus}})}{dE}$$

$$\longrightarrow D_{\text{fus}}(E) \equiv \frac{d^2(E\sigma_{\text{fus}})}{dE^2} \simeq \pi R_b^2 \frac{dP_{l=0}}{dE}$$

(核融合障壁分布)

N. Rowley, G.R. Satchler,  
P.H. Stelson, PLB254('91)25

(note) 古典的な核融合反応断面積

$$\sigma_{\text{fus}}^{\text{cl}}(E) = \pi R_b^2 \left(1 - \frac{V_b}{E}\right) \theta(E - V_b)$$



$$\begin{aligned} \frac{d}{dE}[E\sigma_{\text{fus}}^{\text{cl}}(E)] &= \pi R_b^2 \theta(E - V_b) \\ &= \pi R_b^2 P_{\text{cl}}(E) \end{aligned}$$

$$\left\{ \begin{aligned} \sigma^{\text{cl}} &= 2\pi \int_0^{b_{\text{crit}}} b db = \pi b_{\text{crit}}^2 \\ V_b + \frac{(kb_{\text{crit}})^2 \hbar^2}{2\mu R_b^2} &= E \end{aligned} \right.$$

# (参考) Wong の公式

C.Y. Wong, Phys. Rev. Lett. 31 ('73)766

$$\sigma_{\text{fus}}(E) = \frac{\pi}{k^2} \sum_l (2l + 1) P_l(E)$$

i) クーロン障壁を放物線で近似  $V(r) \sim V_b - \frac{1}{2}\mu\Omega^2 r^2$

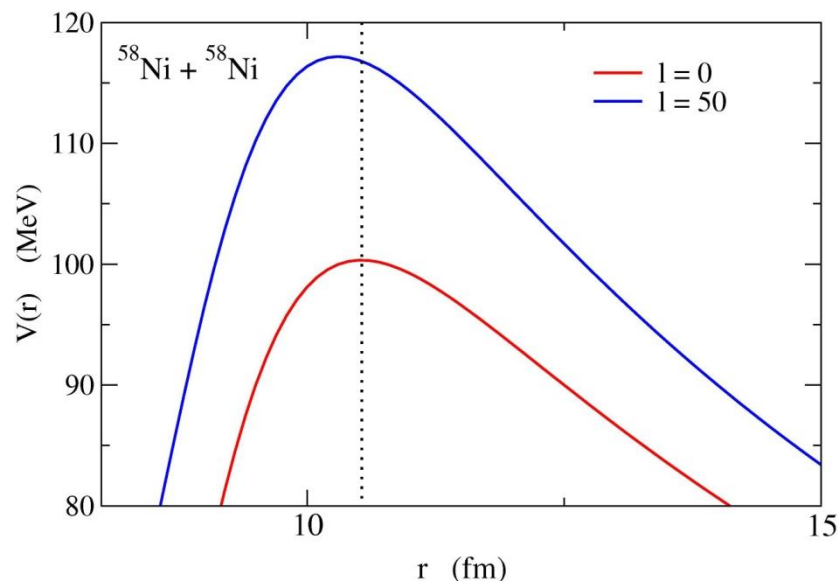
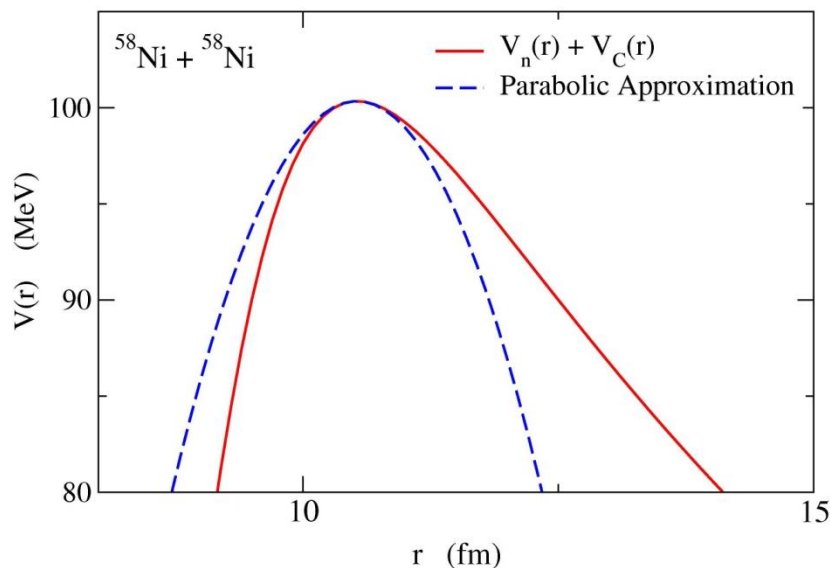
→  $P_0(E) = 1 / \left( 1 + \exp \left[ \frac{2\pi}{\hbar\Omega} (V_b - E) \right] \right)$

ii) 角運動量  $l$  の透過確率を角運動量  $l=0$  の透過確率を用いて近似

$$P_l(E) \sim P_0 \left( E - \frac{l(l+1)\hbar^2}{2\mu R_b^2} \right)$$

(曲率及び障壁の位置が角運動量  $l$  に依らないと仮定)

iii)  $l$  の和を積分に置き換える



## (参考) Wong の公式(つづき)

$$\begin{aligned}\sigma_{\text{fus}}(E) &= \frac{\pi}{k^2} \sum_l (2l+1) P_l(E) \sim \frac{\pi}{k^2} \int_0^\infty dl (2l+1) P_l(E) \\ &\sim \frac{\pi}{k^2} \int_0^\infty \frac{(2l+1) dl}{1 + \exp \left[ \frac{2\pi}{\hbar\Omega} (V_b + l(l+1)\hbar^2/2\mu R_b^2 - E) \right]} \\ &= \frac{\pi}{k^2} \int_0^\infty \frac{dt}{1 + \exp \left[ \frac{2\pi}{\hbar\Omega} (V_b + t\hbar^2/2\mu R_b^2 - E) \right]}\end{aligned}$$



$$\sigma_{\text{fus}}(E) = \frac{\hbar\Omega}{2E} R_b^2 \log \left[ 1 + \exp \left( \frac{2\pi}{\hbar\Omega} (E - V_b) \right) \right] \quad [t = l(l+1)]$$

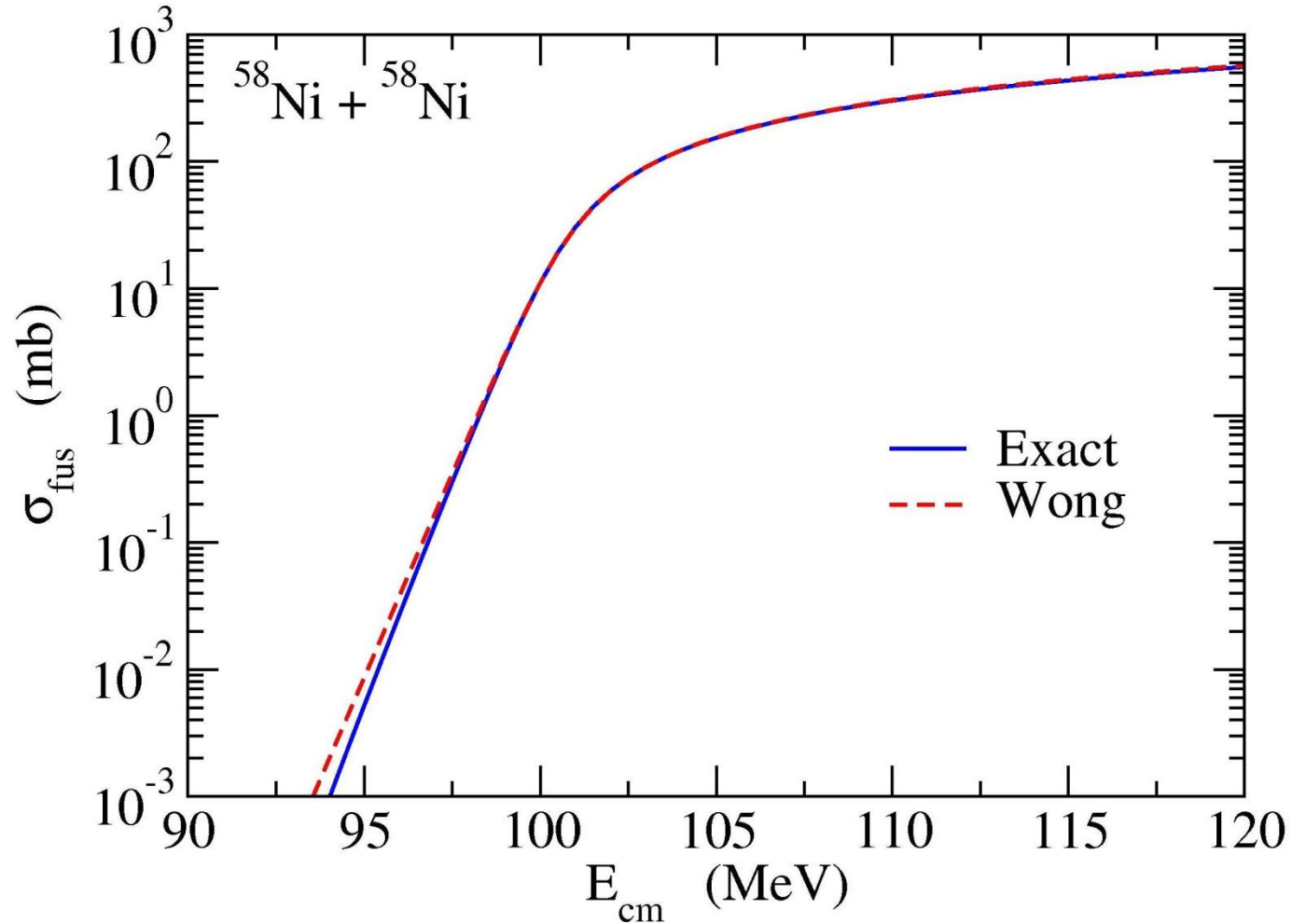
(note)  $E \gg V_b$  の時  $1 \ll \exp \left( \frac{2\pi}{\hbar\Omega} (E - V_b) \right)$

$$\implies \sigma_{\text{fus}}(E) \sim \pi R_b^2 \left( 1 - \frac{V_b}{E} \right) = \sigma_{\text{fus}}^{\text{cl}}(E)$$

(note)

$$\frac{d(E\sigma_{\text{fus}})}{dE} = \frac{\pi R_b^2}{1 + \exp \left[ \frac{2\pi}{\hbar\Omega} (V_b - E) \right]} = \pi R_b^2 \cdot P_{l=0}(E)$$

(参考) Wong の公式 (つづき2)

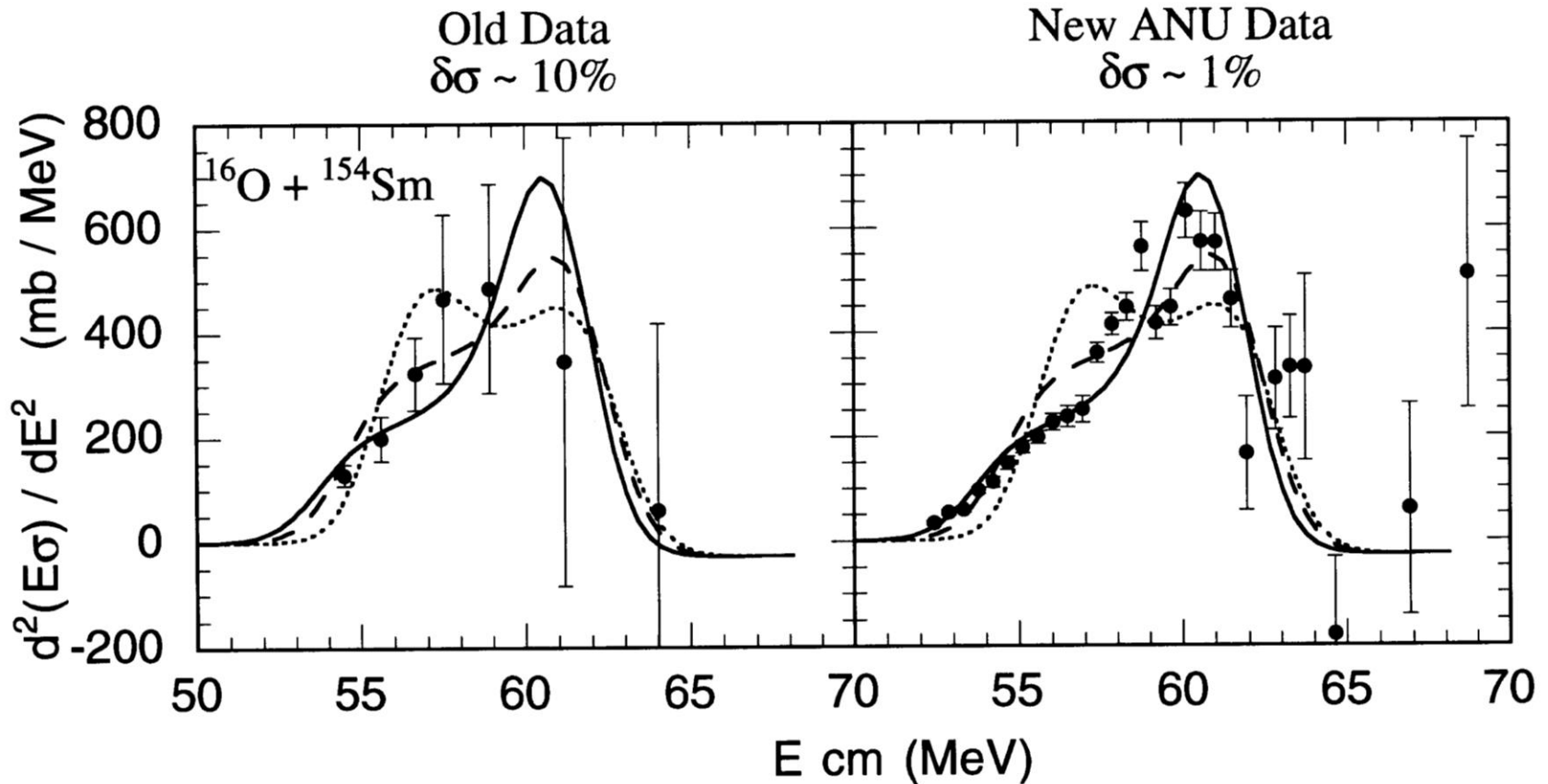


# 障壁分布測定

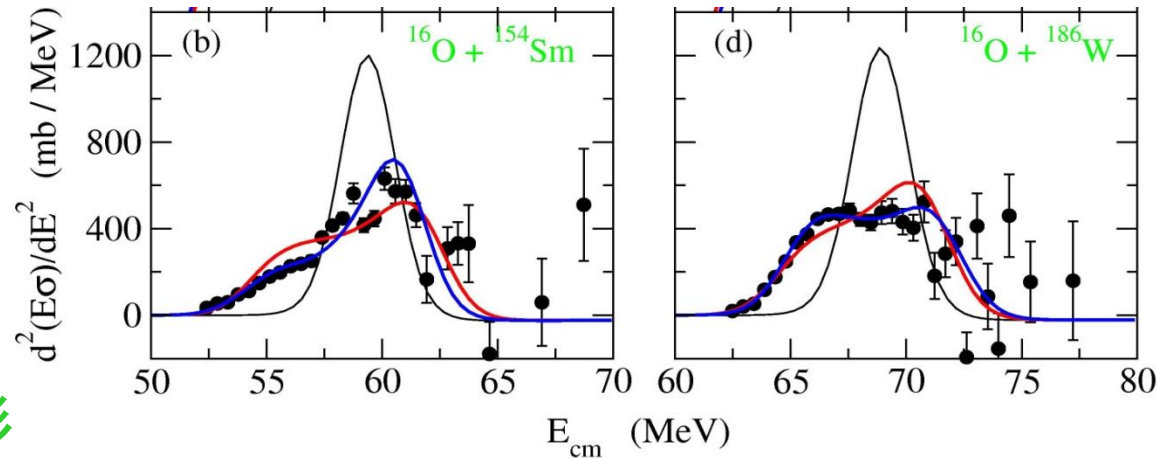
核融合障壁分布  $D_{\text{fus}}(E) = \frac{d^2(E\sigma)}{dE^2}$

2階微分をとるために非常に高精度の実験データが必要

(90年代初頭)



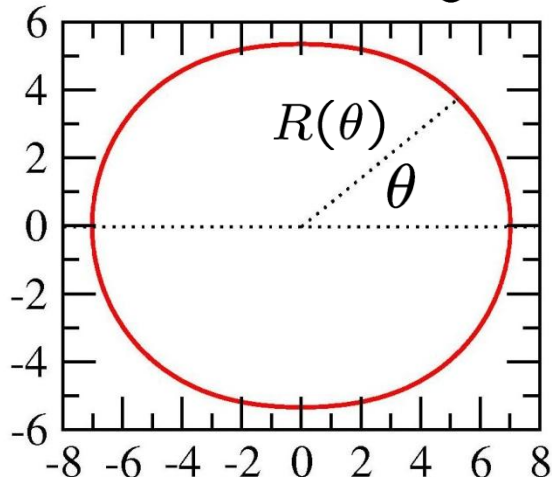
# 障壁分布を通じて原子核の形を見る



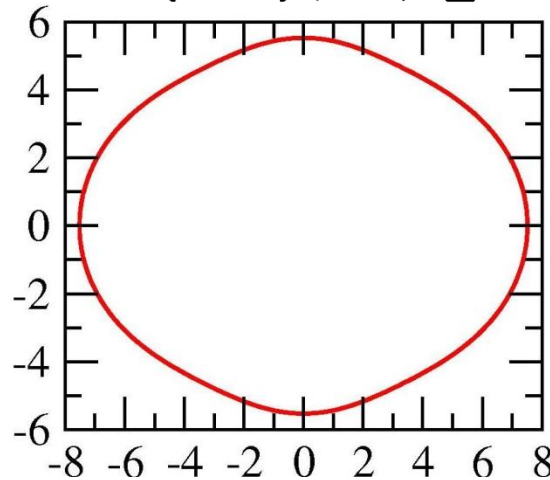
原子核の形

$$R(\theta) = R_0(1 + \beta_2 Y_{20}(\theta) + \beta_4 Y_{40}(\theta) + \dots)$$

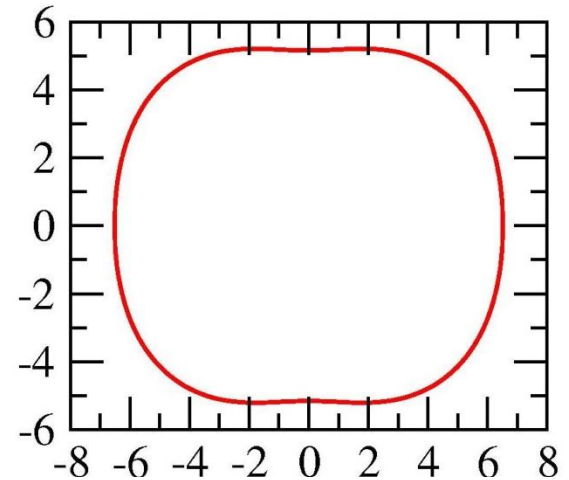
$$R_0 = 5.9 \text{ (fm)}, \quad \beta_2 = 0.3$$



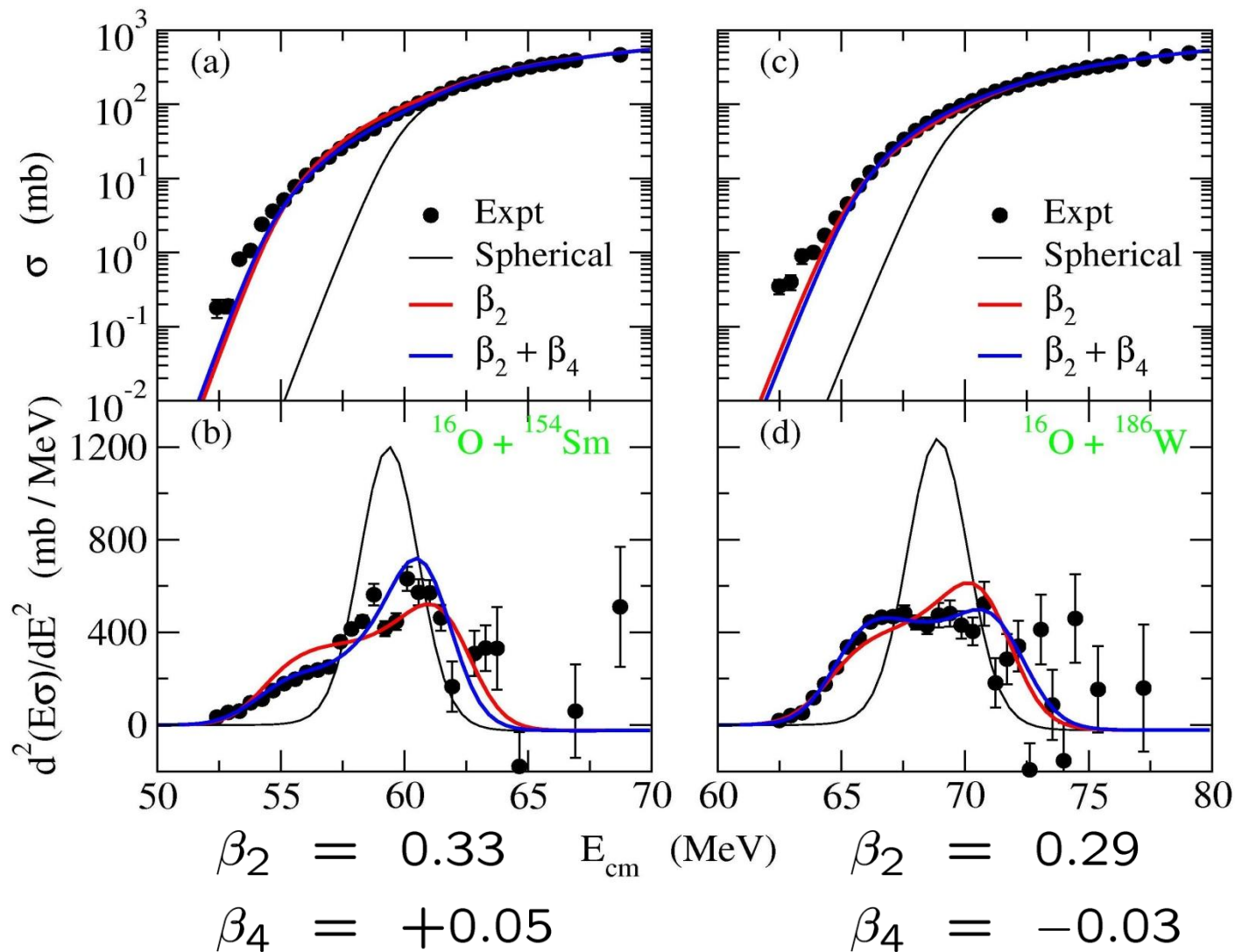
$$\beta_4 = 0$$



$$\beta_4 = 0.1$$



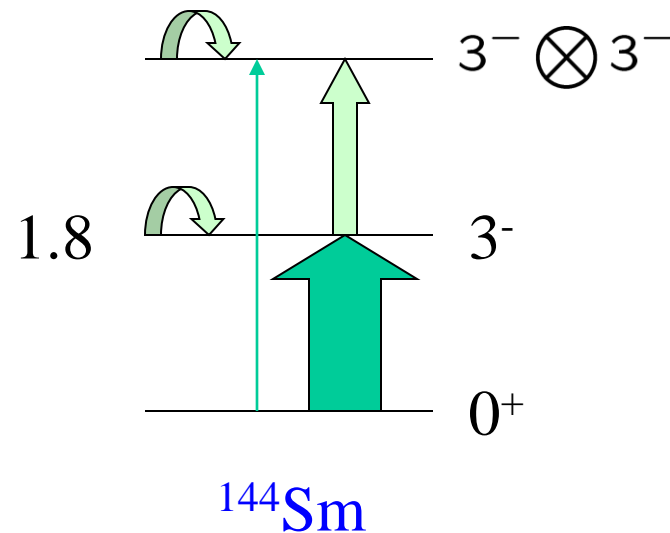
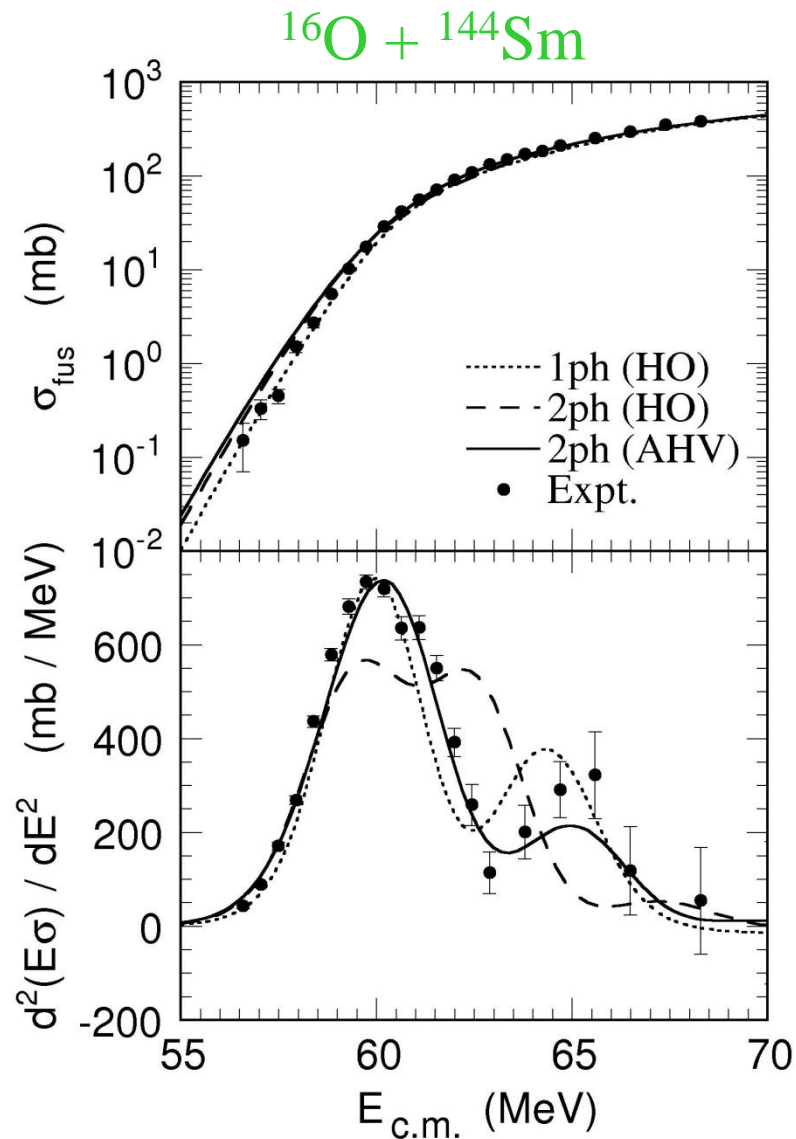
$$\beta_4 = -0.1$$



障壁分布をとることによって、 $\beta_4$ による違いがかなりはっきりと目に見える！

➡ 原子核に対する量子トンネル顕微鏡としての核融合反応

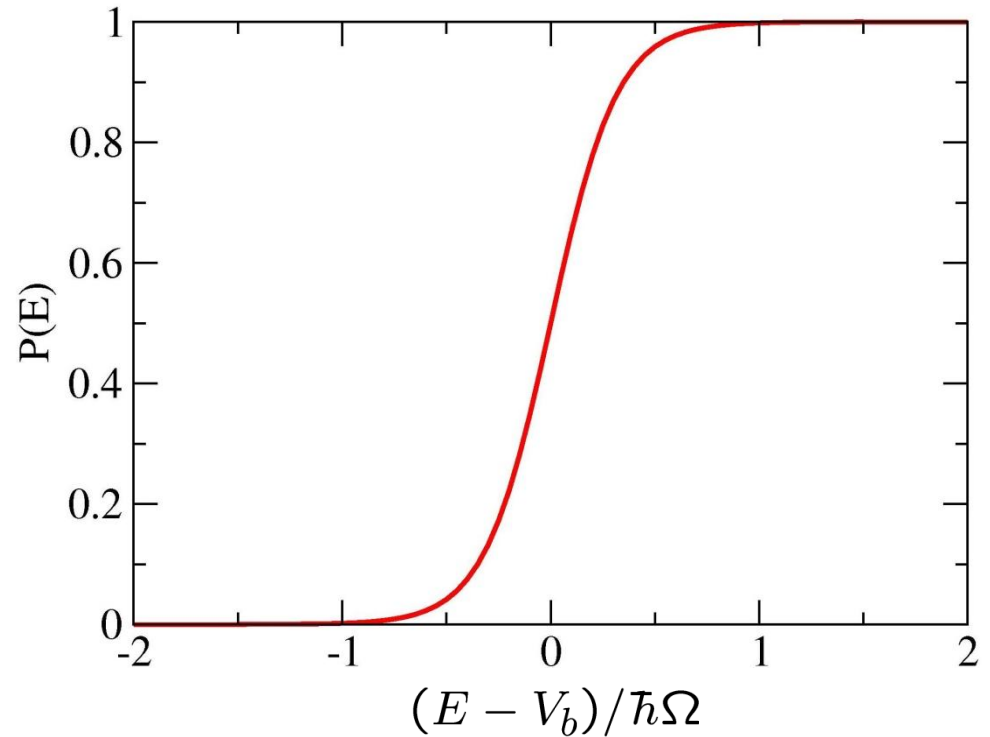
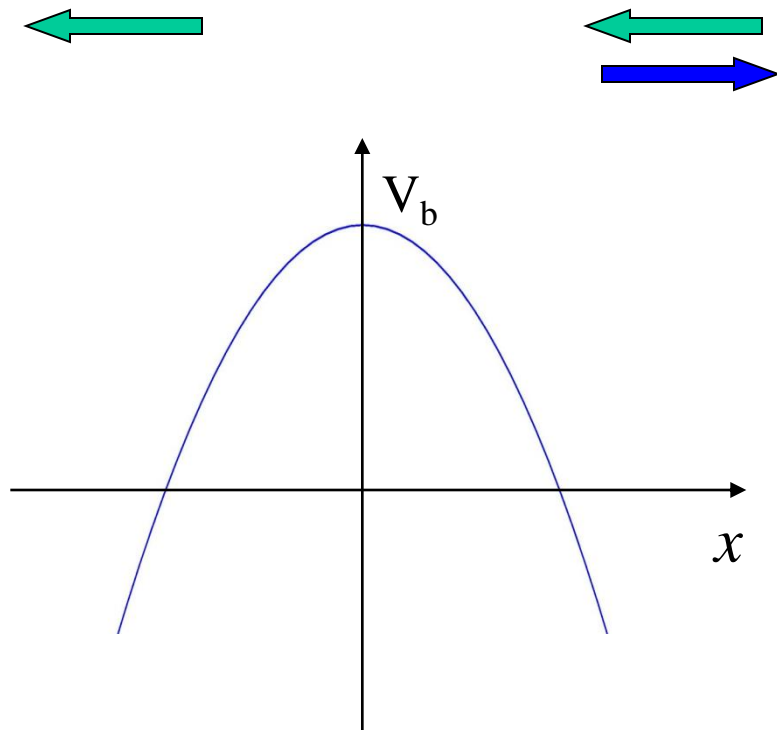
# 球形振動核の例



Quadrupole moment:  
 $Q(3^-) = -0.70 \pm 0.02\text{b}$

K.Hagino, N. Takigawa, and S. Kuyucak,  
 PRL79('97)2943

# 量子反射と重イオン準弾性散乱



量子力学では  $E > V_b$  でも反射が起こる  $\longrightarrow$  量子反射

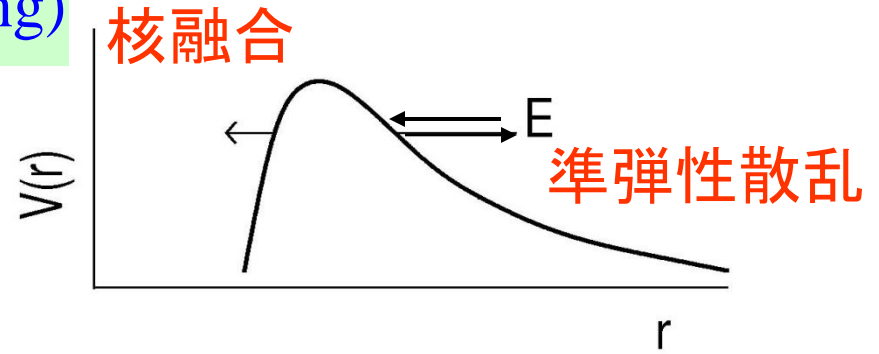
$$P(E) + R(E) = 1$$



反射確率は透過確率と同じ情報を持ち、反射確率を用いて障壁分布を定義することも可能

# 準弾性散乱 (Quasi-Elastic Scattering)

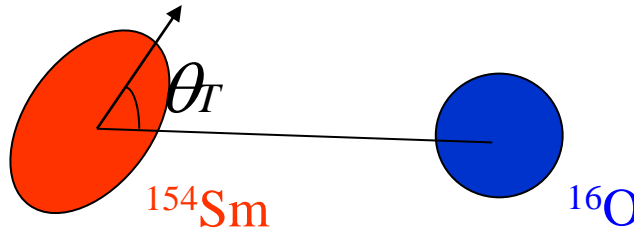
核融合反応を除く全てのプロセス  
の和 (弾性散乱 + 非弾性散乱 + 核子移  
行反応 + .....



クーロン障壁で跳ね返り検出器に  
入ってきた粒子を全てつかまえる

← 反射確率に関する

変形核では.....

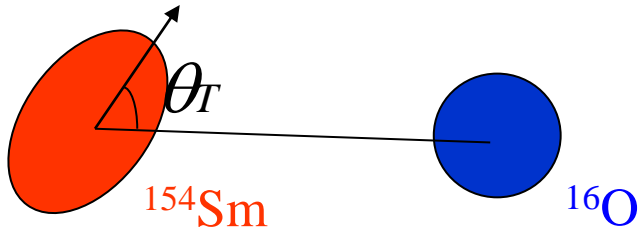


$$\left\{ \begin{array}{l} \sigma_{\text{fus}}(E) = \int_0^1 d(\cos \theta_T) \sigma_{\text{fus}}(E; \theta_T) \\ \sigma_{\text{qel}}(E, \theta) = \sum_I \sigma(E, \theta) = \int_0^1 d(\cos \theta_T) \sigma_{\text{el}}(E, \theta; \theta_T) \end{array} \right.$$

# 準弾性散乱障壁分布

$$\sigma_{\text{fus}}(E) = \int_0^1 d(\cos \theta_T) \sigma_{\text{fus}}(E; \theta_T)$$

$$D_{\text{fus}}(E) = \frac{d^2(E \sigma_{\text{fus}})}{dE^2}$$



$$\sigma_{\text{qel}}(E, \theta) = \sum_I \sigma(E, \theta) = \int_0^1 d(\cos \theta_T) \sigma_{\text{el}}(E, \theta; \theta_T)$$

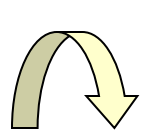
## 準弾性散乱障壁分布:

$$D_{\text{qel}}(E) = -\frac{d}{dE} \left( \frac{\sigma_{\text{qel}}(E, \pi)}{\sigma_R(E, \pi)} \right)$$

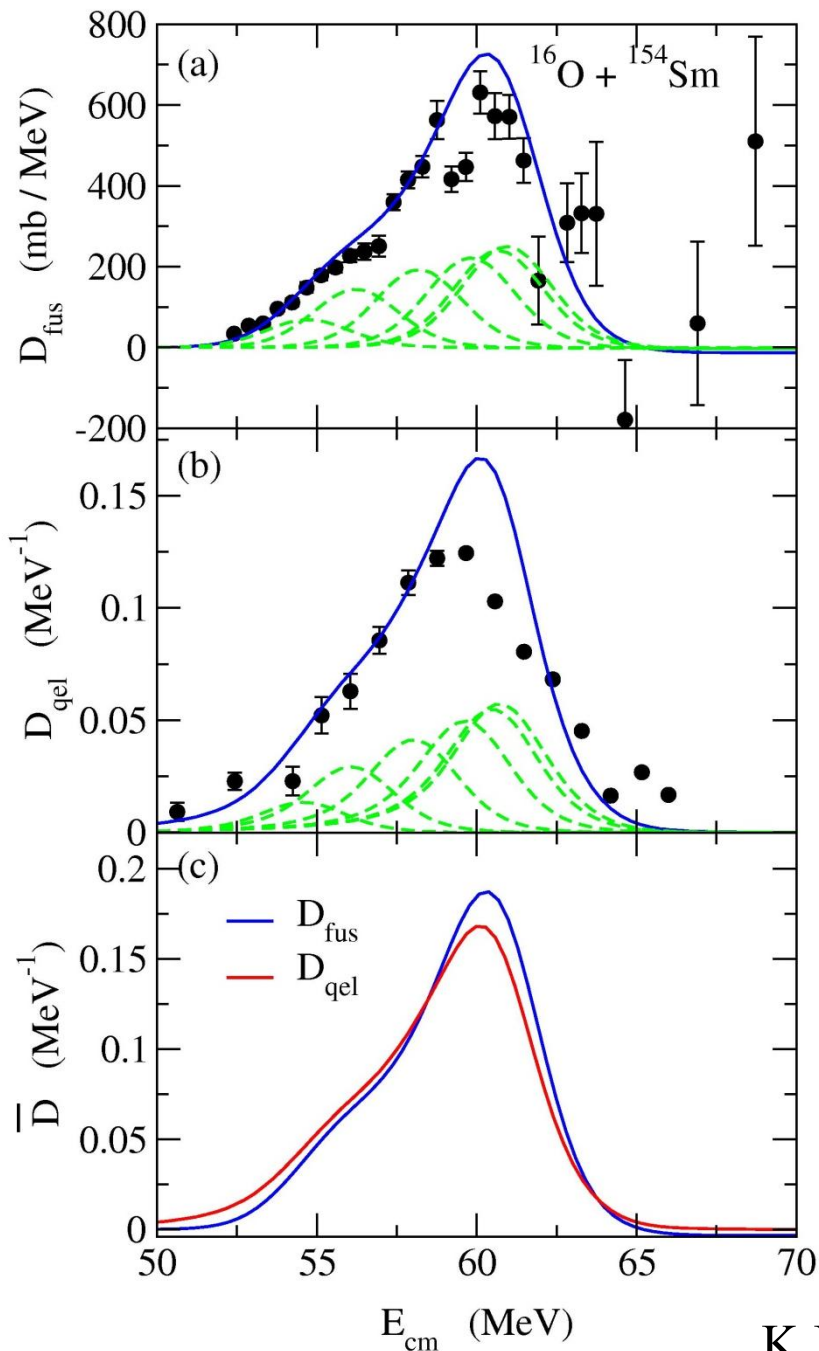
H. Timmers et al.,  
NPA584('95)190

(note) クーロン力が強い場合の古典的弾性散乱の断面積:

$$\sigma_{\text{cl}}^{\text{el}}(E, \pi) = \sigma^{\text{B}}(E, \pi) \theta(\Lambda^{\text{p}} - E)$$



$$\frac{\sigma_{\text{el}}^{\text{cl}}(E, \pi)}{\sigma_R(E, \pi)} = \theta(V_b - E) = R(E)$$



核融合障壁分布

$$D_{\text{fus}}(E) = \frac{d^2(E\sigma_{\text{fus}})}{dE^2}$$

準弾性障壁分布

$$D_{\text{qel}}(E) = -\frac{d}{dE} \left( \frac{\sigma_{\text{qel}}(E, \pi)}{\sigma_R(E, \pi)} \right)$$

大まかな構造は非常に似通っている

### 準弾性障壁分布の利点

- 実験が楽
- 実験精度が核融合ほど要求されない (1階微分 vs 2階微分)

➔ 中性子過剰核の構造の研究に利用できるかも